

基于滑模控制法的不确定复杂网络间有限时间组合同步

张 棠, 韩 敏[†]

(大连理工大学 电子信息与电气工程学部, 辽宁 大连 116023)

摘要: 将组合同步的概念引入到复杂网络, 针对4个不确定复杂网络间的有限时间组合同步问题进行研究; 将同时受到未知参量及不确定扰动影响的4个复杂网络按照 $A+B+C-D$ 的形式进行组合; 基于滑模控制原理及有限时间稳定性理论, 设计网络滑模面及控制输入, 得到实现同步的充分条件。最后通过数值仿真验证所提方法的有效性。

关键词: 组合同步; 复杂网络; 滑模控制; 有限时间

中图分类号: O231.5; TP273.2

文献标志码: A

Finite-time combination synchronization of uncertain complex networks based on sliding mode control method

ZHANG Meng, HAN Min[†]

(Faculty of Electronic Information and Electrical Engineering, Dalian University of Technology, Dalian 116023, China)

Abstract: The concept of combination synchronization is introduced into complex network, for investigating finite-time combination synchronization of four uncertain complex networks. Four complex networks, which are effected by unknown parameters and uncertain disturbances at the same time, are combined as the form of $A+B+C-D$. Based on the sliding mode control principle and finite time stability theory, the sufficient conditions of synchronization are obtained with designing appropriate network sliding mode surface and control inputs. Finally, a numerical example is given to illustrate the effectiveness of the proposed scheme.

Keywords: combination synchronization; complex networks; sliding mode control; finite-time

0 引言

复杂网络^[1]是复杂性科学的重要分支。同步现象^[2]是复杂网络的典型动力学行为之一, 因其独特的应用潜力, 受到人们的广泛关注。现有同步研究多局限于网络在无限时间内的渐近同步^[3-4], 缺少同步时间的讨论。但在实际中, 特别是混沌通信领域中, 提前掌握并尽量缩短同步时间, 有助于增强信息传输的安全性。与渐近同步相比, 有限时间同步可计算到达同步的最大时间, 更快地完成稳定收敛, 实现最优控制^[5-6]。

近年来, 组合同步作为一种较为新颖的同步类型引起了人们的研究兴趣^[7-8]。然而, 现有的研究成果一般针对混沌系统^[9-10], 对于复杂网络间的组合同步问题尚缺少相关研究。本文考虑将4个复杂网络作为研究对象, 以 A 、 B 、 C 、 D 四个比例因子为桥梁, 按驱

动-响应的思路进行组合, 探究多个网络之间的同步动态关系。这种比例因子的同步形式, 在安全通信中应用广泛(例如投影同步^[11])。多网络的组合模型可将传输信号分割成几个部分, 每个部分加载在不同的驱动网络区间进行传输, 这显然比一对一的传播模型更具安全性。

本文在文献[7]和文献[9]的基础上, 将组合同步的思路引入复杂网络, 综合考虑未知参量、不确定扰动及关键参量的选取对同步结果的影响。采用强鲁棒性的滑模控制法进行同步控制, 所提出的带有积分项的非奇异终端滑模面可以克服文献[12]中滑模面在零点的奇异性。所提方法的优势在于系统稳定性仅取决于滑模面及相关参量的设定, 对未知参量及外界干扰不灵敏, 可以较好地克服扰动影响, 并计算得到收敛时间, 实现快速响应。

收稿日期: 2016-08-09; 修回日期: 2016-11-21。

基金项目: 国家自然科学基金项目(61374154)。

作者简介: 张棠(1988-), 女, 博士生, 从事复杂网络、同步控制的研究; 韩敏(1959-), 女, 教授, 博士生导师, 从事控制理论、神经网络预测等研究。

[†]通讯作者. E-mail: minhan@dlut.edu.cn

1 网络模型与预备条件

考虑4个含有未知参量及不确定扰动项的复杂网络模型

$$\begin{aligned}\dot{\mathbf{x}}_i(t) &= f(\mathbf{x}_i(t)) + F(\mathbf{x}_i(t))\boldsymbol{\alpha}_{1i} + \\ \Delta f(\mathbf{x}_i(t)) + \sum_{j=1}^N p_{ij} \mathbf{x}_j(t),\end{aligned}\quad (1)$$

$$\begin{aligned}\dot{\mathbf{y}}_i(t) &= g(\mathbf{y}_i(t)) + G(\mathbf{y}_i(t))\boldsymbol{\alpha}_{2i} + \\ \Delta g(\mathbf{y}_i(t)) + \sum_{j=1}^N p_{ij} \mathbf{y}_j(t),\end{aligned}\quad (2)$$

$$\begin{aligned}\dot{\mathbf{z}}_i(t) &= h(\mathbf{z}_i(t)) + H(\mathbf{z}_i(t))\boldsymbol{\alpha}_{3i} + \\ \Delta h(\mathbf{z}_i(t)) + \sum_{j=1}^N p_{ij} \mathbf{z}_j(t),\end{aligned}\quad (3)$$

$$\begin{aligned}\dot{\mathbf{w}}_i(t) &= l(\mathbf{w}_i(t)) + L(\mathbf{w}_i(t))\boldsymbol{\alpha}_{4i} + \\ \Delta l(\mathbf{w}_i(t)) + \sum_{j=1}^N p_{ij} \mathbf{w}_j(t) + u_i(t).\end{aligned}\quad (4)$$

其中: $\mathbf{x}_i(t), \mathbf{y}_i(t), \mathbf{z}_i(t), \mathbf{w}_i(t) \in R^n (i = 1, 2, \dots, N)$ 分别为网络中第 i 个节点的 n 维状态变量; $f, g, h, l : R^n \rightarrow R^n$ 为非线性光滑函数; $F : R^n \rightarrow R^{n \times m_1}, G : R^n \rightarrow R^{n \times m_2}, H : R^n \rightarrow R^{n \times m_3}, L : R^n \rightarrow R^{n \times m_4}$; $\boldsymbol{\alpha}_{1i} \in R^{m_1}, \boldsymbol{\alpha}_{2i} \in R^{m_2}, \boldsymbol{\alpha}_{3i} \in R^{m_3}, \boldsymbol{\alpha}_{4i} \in R^{m_4}$ 为节点状态方程中的未知参量; $\Delta f(\mathbf{x}_i(t)), \Delta g(\mathbf{y}_i(t)), \Delta h(\mathbf{z}_i(t))$ 和 $\Delta l(\mathbf{w}_i(t))$ 为不确定扰动项; $P = [p_{ij}]_{N \times N}$ 为网络的外部耦合矩阵, 表示该网络的拓扑结构; $u_i(t) \in R^n$ 为需要设计的组合同步控制器.

定义1 定义网络间的误差函数 $\mathbf{e}_i(t) = A\mathbf{x}_i(t) + B\mathbf{y}_i(t) + C\mathbf{z}_i(t) - D\mathbf{w}_i(t), A, B, C, D \in R^{n \times n}, D \neq 0$. 若存在某一时刻 $t_1 > 0$, 使得对任意 $i, j = 1, 2, \dots, N, t \geq t_1$ 有 $\lim_{t \rightarrow t_1} \|\mathbf{e}_i(t)\| = 0$ 恒成立, 此时4个网络实现在有限时间 t_1 内的组合同步.

假设1 假设未知参量 $\boldsymbol{\alpha}_{1i}, \boldsymbol{\alpha}_{2i}, \boldsymbol{\alpha}_{3i}, \boldsymbol{\alpha}_{4i}$ 有界, 满足 $\|\boldsymbol{\alpha}_{1i}\| \leq \delta_{\alpha_{1i}}, \|\boldsymbol{\alpha}_{2i}\| \leq \delta_{\alpha_{2i}}, \|\boldsymbol{\alpha}_{3i}\| \leq \delta_{\alpha_{3i}}, \|\boldsymbol{\alpha}_{4i}\| \leq \delta_{\alpha_{4i}}$, 其中 $\delta_{\alpha_{1i}}, \delta_{\alpha_{2i}}, \delta_{\alpha_{3i}}, \delta_{\alpha_{4i}}$ 为已知的正常数.

假设2 假设未知的不确定扰动项同样有界, 存在常数 $k > 0$, 满足 $\|A\Delta f(\mathbf{x}_i(t)) + B\Delta g(\mathbf{y}_i(t)) + C\Delta h(\mathbf{z}_i(t)) - D\Delta l(\mathbf{w}_i(t))\| \leq k$, 即 $\|\Omega\| \leq k$ 成立.

2 有限时间滑模控制器的设计与同步分析

利用滑模控制理论实现同步控制的主要步骤:

- 1) 选择适当的网络滑模面;
- 2) 设计控制器 $u_i(t)$, 使受控系统沿着滑模面向同步态运动.

2.1 滑模面的设计及稳定性分析

根据控制目标, 选取网络滑模面的形式如下:

$$\mathbf{s}_i(t) = \beta_i \mathbf{e}_i(t) + \int_0^t \operatorname{sgn}(\mathbf{e}_i(\varphi)) |\mathbf{e}_i(\varphi)|^\varepsilon d\varphi. \quad (5)$$

其中: $\mathbf{s}_i(t) \in R, \beta_i > 0, 0 < \varepsilon < 1$, 滑模面满足条件 $\mathbf{s}_i(t) = \dot{\mathbf{s}}_i(t) = 0$, 可以变换得到

$$\dot{\mathbf{e}}_i(t) = -\frac{1}{\beta_i} \operatorname{sgn}(\mathbf{e}_i(t)) |\mathbf{e}_i(t)|^\varepsilon. \quad (6)$$

定理1 滑模动态系统(5)可以实现有限时间 t_2 内的渐近稳定. t_2 满足

$$t_2 \leq t_0 + \frac{V_1^{1-\varepsilon/2}(t_0)}{(1-\varepsilon)\rho 2^{1-\varepsilon/2}}. \quad (7)$$

其中: $\rho = \min\{1/\beta_i\}, i = 1, 2, \dots, N$; t_0 为初始时刻.

证明 选取如下的Lyapunov函数:

$$V_1(t) = \frac{1}{2} \sum_{i=1}^N \mathbf{e}_i^T(t) \mathbf{e}_i(t). \quad (8)$$

对 $V_1(t)$ 求导, 且 $\operatorname{sgn}(\mathbf{e}_i(t)) = |\mathbf{e}_i(t)|/\mathbf{e}_i(t)$, 得到

$$\dot{V}_1(t) = \sum_{i=1}^N -\frac{1}{\beta_i} |\mathbf{e}_i(t)|^{\varepsilon+1} \leq -\rho \sum_{i=1}^N |\mathbf{e}_i(t)|^{\varepsilon+1}. \quad (9)$$

根据文献[5]中的引理2(后文简称引理2), 可以得到

$$\dot{V}_1(t) \leq -2^{\varepsilon+1/2} \rho V_1^{\varepsilon+1/2}(t). \quad (10)$$

根据文献[5]中的引理1(后文简称引理1), 滑模系统实现稳定的时间 t_2 为

$$t_2 \leq t_0 + \frac{V_1^{1-\varepsilon/2}(t_0)}{(1-\varepsilon)\rho 2^{1-\varepsilon/2}}. \quad (11)$$

由此定理成立. \square

2.2 有限时间滑模控制器设计

定义2 当假设1和假设2成立时, 设计组合控制器及未知参量自适应律如下:

$$\begin{aligned}u_i(t) &= \\ D^{-1} \Big[&\Psi + A - \sum_{j=1}^N p_{ij} \mathbf{e}_j(t) + \frac{1}{\beta_i} \operatorname{sgn}(\mathbf{e}_i(t)) |\mathbf{e}_i(t)|^\varepsilon + \\ &\Pi + k_i \operatorname{sgn}(\mathbf{s}_i(t)) + \frac{\lambda_i \mathbf{s}_i(t)}{\|\mathbf{s}_i(t)\|} \Big].\end{aligned}\quad (12)$$

其中

$$\Psi = A f(\mathbf{x}_i(t)) + B g(\mathbf{y}_i(t)) + C h(\mathbf{z}_i(t)) - D l(\mathbf{w}_i(t)),$$

$$\Lambda = A F(\mathbf{x}_i(t)) \hat{\boldsymbol{\alpha}}_{1i}(t) + B G(\mathbf{y}_i(t)) \hat{\boldsymbol{\alpha}}_{2i}(t) +$$

$$C H(\mathbf{z}_i(t)) \hat{\boldsymbol{\alpha}}_{3i}(t) - D L(\mathbf{w}_i(t)) \hat{\boldsymbol{\alpha}}_{4i}(t),$$

$$\Omega = A \Delta f(\mathbf{x}_i(t)) + B \Delta g(\mathbf{y}_i(t)) +$$

$$C \Delta h(\mathbf{z}_i(t)) - D \Delta l(\mathbf{w}_i(t)),$$

$$\begin{aligned}\Pi = \gamma \Big(&\frac{\|\hat{\boldsymbol{\alpha}}_{1i}(t)\| + \delta_{\alpha_{1i}}}{\sqrt{\eta_{1i}}} + \frac{\|\hat{\boldsymbol{\alpha}}_{2i}(t)\| + \delta_{\alpha_{2i}}}{\sqrt{\eta_{2i}}} + \\ &\frac{\|\hat{\boldsymbol{\alpha}}_{3i}(t)\| + \delta_{\alpha_{3i}}}{\sqrt{\eta_{3i}}} + \frac{\|\hat{\boldsymbol{\alpha}}_{4i}(t)\| + \delta_{\alpha_{4i}}}{\sqrt{\eta_{4i}}} \Big) \Big(\frac{\mathbf{s}_i(t)}{\beta_i \|S\|^2} \Big),\end{aligned}$$

$\gamma = \min\{\lambda_i \beta_i\} > 0, k_i$ 和 λ_i 为正常量, $S = [\mathbf{s}_1(t), \mathbf{s}_2(t), \dots, \mathbf{s}_N(t)]$. 4个网络中未知参量的自适应律为

$$\dot{\boldsymbol{\alpha}}_{1i}(t) = \eta_{1i} F^T(\mathbf{x}_i(t)) A \beta_i \mathbf{s}_i(t),$$

$$\dot{\boldsymbol{\alpha}}_{2i}(t) = \eta_{2i} G^T(\mathbf{y}_i(t)) B \beta_i \mathbf{s}_i(t),$$

$$\dot{\boldsymbol{\alpha}}_{3i}(t) = \eta_{3i} H^T(\mathbf{z}_i(t)) C \beta_i \mathbf{s}_i(t),$$

$$\dot{\boldsymbol{\alpha}}_{4i}(t) = -\eta_{4i} L^T(\mathbf{w}_i(t)) D \beta_i \mathbf{s}_i(t), \quad (13)$$

其中 $\eta_{1i}, \eta_{2i}, \eta_{3i}, \eta_{4i}$ 为正常量. $\hat{\boldsymbol{\alpha}}_{1i}(t), \hat{\boldsymbol{\alpha}}_{2i}(t), \hat{\boldsymbol{\alpha}}_{3i}(t)$ 和 $\hat{\boldsymbol{\alpha}}_{4i}(t)$ 为未知参量 $\boldsymbol{\alpha}_{1i}, \boldsymbol{\alpha}_{2i}, \boldsymbol{\alpha}_{3i}$ 和 $\boldsymbol{\alpha}_{4i}$ 的自适应估

计值.

定理2 在定义2的条件下, 状态系统在有限时间 t_3 内运动到滑模面, 4个复杂网络可以实现有限时间的组合同步, t_3 满足 $t_3 \leq t_0 + \sqrt{2}V_2^{1/2}(t_0)/\gamma$.

证明 选取如下的Lyapunov函数:

$$\begin{aligned} V_2(t) = & \frac{1}{2} \left[\sum_{i=1}^N \mathbf{s}_i^T(t) \mathbf{s}_i(t) + \sum_{i=1}^N \frac{1}{\eta_{1i}} \bar{\alpha}_{1i}^T(t) \bar{\alpha}_{1i}(t) + \right. \\ & \sum_{i=1}^N \frac{1}{\eta_{2i}} \bar{\alpha}_{2i}^T(t) \bar{\alpha}_{2i}(t) + \sum_{i=1}^N \frac{1}{\eta_{3i}} \bar{\alpha}_{3i}^T(t) \bar{\alpha}_{3i}(t) + \\ & \left. \sum_{i=1}^N \frac{1}{\eta_{4i}} \bar{\alpha}_{4i}^T(t) \bar{\alpha}_{4i}(t) \right]. \end{aligned} \quad (14)$$

其中: $\bar{\alpha}_{1i}(t) = \alpha_{1i} - \hat{\alpha}_{1i}(t)$, $\bar{\alpha}_{2i}(t) = \alpha_{2i} - \hat{\alpha}_{2i}(t)$, $\bar{\alpha}_{3i}(t) = \alpha_{3i} - \hat{\alpha}_{3i}(t)$, $\bar{\alpha}_{4i}(t) = \alpha_{4i} - \hat{\alpha}_{4i}(t)$. 对 $V_2(t)$ 求导, 代入滑模面的导数 $\dot{\mathbf{s}}_i(t)$, 有

$$\begin{aligned} \dot{V}_2(t) = & \sum_{i=1}^N \left[\mathbf{s}_i^T(t) (\beta_i \dot{\mathbf{e}}_i(t) + \text{sgn}(\mathbf{e}_i(t)) |\mathbf{e}_i(t)|^\varepsilon) - \right. \\ & \sum_{i=1}^N \frac{1}{\eta_{1i}} \bar{\alpha}_{1i}^T(t) \dot{\alpha}_{1i}(t) - \sum_{i=1}^N \frac{1}{\eta_{2i}} \bar{\alpha}_{2i}^T(t) \dot{\alpha}_{2i}(t) - \\ & \left. \sum_{i=1}^N \frac{1}{\eta_{3i}} \bar{\alpha}_{3i}^T(t) \dot{\alpha}_{3i}(t) - \sum_{i=1}^N \frac{1}{\eta_{4i}} \bar{\alpha}_{4i}^T(t) \dot{\alpha}_{4i}(t) \right]. \end{aligned} \quad (15)$$

根据预设网络模型得到误差系统的导数, 代入控制器(12)和未知参量的自适应律(13), 根据假设2, 可以进一步变换得到

$$\dot{V}_2(t) \leq \sum_{i=1}^N \left[\mathbf{s}_i^T(t) \beta_i \left(-\frac{\lambda_i \mathbf{s}_i(t)}{\|\mathbf{s}_i(t)\|} - \Pi \right) \right]. \quad (16)$$

由于 $\sum_{i=1}^N \mathbf{s}_i^T(t) (\mathbf{s}_i(t)/\|S\|^2) = 1$, 根据假设1, 可得

$$\begin{aligned} -\delta_{\alpha_{1i}} + \|\hat{\alpha}_{1i}(t)\| &\leq -\|\alpha_{1i} - \hat{\alpha}_{1i}(t)\|, \\ -\delta_{\alpha_{2i}} + \|\hat{\alpha}_{2i}(t)\| &\leq -\|\alpha_{2i} - \hat{\alpha}_{2i}(t)\|, \\ -\delta_{\alpha_{3i}} + \|\hat{\alpha}_{3i}(t)\| &\leq -\|\alpha_{3i} - \hat{\alpha}_{3i}(t)\|, \\ -\delta_{\alpha_{4i}} + \|\hat{\alpha}_{4i}(t)\| &\leq -\|\alpha_{4i} - \hat{\alpha}_{4i}(t)\|. \end{aligned}$$

因为 $\eta_{1i}, \eta_{2i}, \eta_{3i}, \eta_{4i}$ 取正常量, 根据引理2^[5], 可得

$$\begin{aligned} \dot{V}_2(t) \leq & -\frac{\sqrt{2}}{2} \gamma \left(\sum_{i=1}^N \|\mathbf{s}_i(t)\|^2 - \sum_{i=1}^N \frac{1}{\eta_{1i}} \|\bar{\alpha}_{1i}(t)\|^2 - \right. \\ & \sum_{i=1}^N \frac{1}{\eta_{2i}} \|\bar{\alpha}_{2i}(t)\|^2 - \sum_{i=1}^N \frac{1}{\eta_{3i}} \|\bar{\alpha}_{3i}(t)\|^2 - \\ & \left. \sum_{i=1}^N \frac{1}{\eta_{4i}} \|\bar{\alpha}_{4i}(t)\|^2 \right) = \\ & -\sqrt{2}V_2^{1/2}(t). \end{aligned} \quad (17)$$

基于Lyapunov稳定性理论, 误差系统最终趋近于 $\mathbf{s}_i(t) = 0$ 的滑模面. 根据引理1^[5], 得到到达滑模面所需时间为 $t_3 \leq t_0 + \sqrt{2}V_2^{1/2}(t_0)/\gamma$. 根据定义1, 4个网络实现有限的时间内的组合同步, 网络中的未知

参量可同时正确估计. \square

注1 根据定理1和定理2的内容, 驱动网络(1)、(2)、(3)与响应网络(4)在 $t \rightarrow t_1$ 时可以实现完全同步, 其中同步时间满足 $t_1 \leq t_2 + t_3$.

3 数值仿真

选取全参量未知的Lorenz系统、Lv系统、Chen系统及Rossler系统分别构造5个节点的复杂网络进行仿真实验, 网络的拓扑结构选取为

$$p_{ij} = \begin{bmatrix} -4 & 1 & 3 & 1 & -1 \\ 0 & -3 & 0 & 1 & 2 \\ 0 & 0 & -1 & 1 & 0 \\ -1 & -1 & -2 & 6 & -2 \\ -1 & -1 & 1 & -3 & 2 \end{bmatrix}. \quad (18)$$

扰动项任取为

$$\begin{aligned} \Delta f(x_i(t)) = & \text{diag}(0.1 \sin(x_{i1}), 0.2 \sin(x_{i2}), -0.1 \sin(x_{i3})), \\ \Delta g(y_i(t)) = & \text{diag}(-0.1 \cos(y_{i1}), -0.2 \cos(y_{i2}), 0.1 \cos(y_{i3})), \\ \Delta h(z_i(t)) = & \text{diag}(0.1 \sin(z_{i1}), -0.2 \cos(z_{i2}), 0.1 \sin(z_{i3})), \\ \Delta l(w_i(t)) = & \text{diag}(0.1 \sin(w_{i1}), -0.2 \cos(w_{i2}), 0.3 \sin(w_{i3})). \end{aligned}$$

注2 对于控制器(12)中 $\mathbf{s}_i(t)/\|S\|$ 和 $\mathbf{s}_i(t)/\|\mathbf{s}_i(t)\|$ 项, 当 $\mathbf{s}_i(t) \rightarrow 0$ 时, 将会趋于无穷大. 为避免此问题, 在实际中考虑加入一个充分小的正常数 κ , 使此两项替换为 $\mathbf{s}_i(t)/\|S + \kappa\|$ 和 $\mathbf{s}_i(t)/\|\mathbf{s}_i(t) + \kappa\|$.

选取 $A = \text{diag}(1, -2, -2)$, $B = \text{diag}(-2, 1, 2)$, $C = \text{diag}(-2, -1, 3)$, $D = \text{diag}(1, 1, 1)$. 满足假设1, 限制各参量有界, 取 $\delta_{\alpha_{1i}} = 40.67$, $\delta_{\alpha_{2i}} = 59$, $\delta_{\alpha_{3i}} = 66$, $\delta_{\alpha_{4i}} = 5.9$. 满足假设2, 取 $k = 100$. 注2中引入充分小的 κ , 选取 $\kappa = 0.01$. 参量 $\lambda_i = 1$, $\beta_i = 0.5$, $\varepsilon = 0.5$, $\gamma = 0.01$, $\eta_{1i} = \eta_{2i} = \eta_{3i} = \eta_{4i} = 1$. 根据式(12)和(13), 得到仿真结果. 图1显示网络滑模面随着时间的变化迅速稳定于零点.

引入平均误差作为评价指标, 定义如下:

$$E(t) = \sqrt{\left(\sum_{i=1}^N \|\mathbf{e}_i(t)\|^2 \right) / N}, \quad (19)$$

这里 $N = 5$. 通过模拟误差随时间的演化规律, 验证所提方法的正确性, 并探讨关键参量 β_i 的选取对同步速率的影响. 从图2可以看出, 平均误差在参量 β_i 取不同值时, 均可平稳趋近于零且平滑无抖振产生, 说明所提方法能够有效实现有限时间的组合同步. 同时可以看出, 随着 β_i 取值的增加, 同步速度变快, 同步时间变短. 另外, 对比定理2中 β_i 与 t_3 为反比关系, 可以看出仿真结果与原理推导结果相一致.

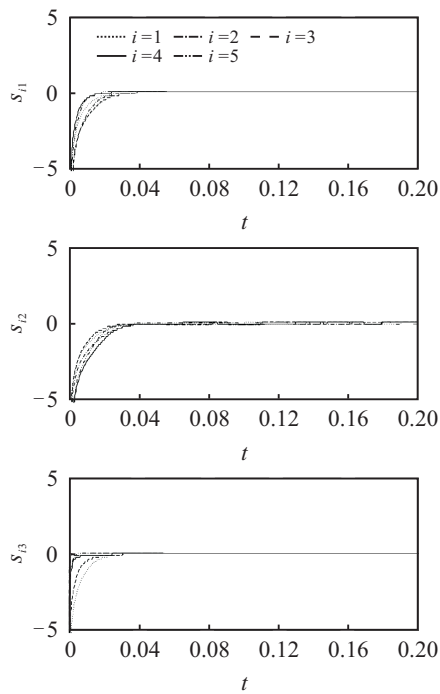


图1 网络滑模面 \$s_i(t)\$ 随时间的演化过程

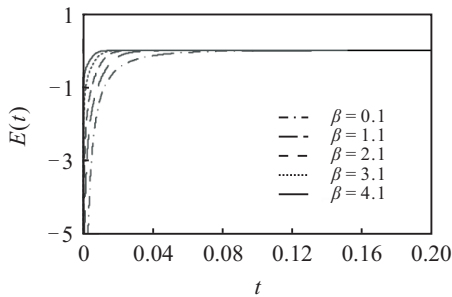


图2 平均误差随时间的演化过程

图3为4个网络中全部未知参量的自适应过程。各节点参量的曲线轨迹快速收敛,自适应估计得到各参量真值: $\alpha_{11}=10, \alpha_{12}=28, \alpha_{13}=8/3, \alpha_{21}=36, \alpha_{22}=20, \alpha_{23}=3, \alpha_{31}=35, \alpha_{32}=3, \alpha_{33}=28, \alpha_{41}=0.2, \alpha_{42}=5.7$ 。

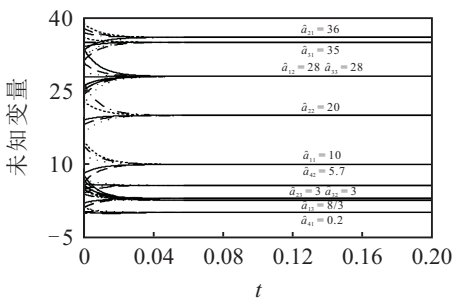


图3 网络未知参量的自适应过程

4 结论

本文提出了一种滑模控制方法,实现了4个具有不确定性复杂网络间的\$A+B+C-D\$型有限时间组合同步控制,并完成了网络中未知参量的自适应估计。文中将组合同步思想从混沌系统推广到复杂网络,所提方法可有效克服网络中未知参量及不确定扰

动的影响,实现短时间内的快速响应,具有较好的同步效果及鲁棒性能。仿真验证了理论推导的正确性,同时揭示了关键参量\$\beta_i\$的取值与同步速率的关系。

参考文献(References)

- [1] Strogatz S H. Exploring complex networks[J]. Nature, 2001, 410(6825): 268-276.
- [2] Arenas A, Díaz-Guilera A, Kurths J, et al. Synchronization in complex networks[J]. Physics Reports, 2008, 469(3): 93-153.
- [3] Yang X, Cao J. Exponential synchronization of delayed neural networks with discontinuous activations[J]. IEEE Trans on Circuits and Systems I: Regular Papers, 2013, 60(9): 2431-2439.
- [4] 张丽丽, 王银河, 王钦若. 不同维数非线性节点非线性耦合复杂动态网络渐近同步[J]. 控制与决策, 2014, 29(3): 537-540。
(Zhang L L, Wang Y H, Wang Q R. Asymptotic synchronization for nonlinear coupled complex dynamical networks with different-dimension nonlinear nodes[J]. Control and Decision, 2014, 29(3): 537-540.)
- [5] Mei J, Jiang M, Wang J. Finite-time structure identification and synchronization of drive-response systems with uncertain parameter[J]. Communications in Nonlinear Science and Numerical Simulation, 2013, 18(4): 999-1015.
- [6] Velmurugan G, Rakkiyappan R, Cao J. Finite-time synchronization of fractional-order memristor-based neural networks with time delays[J]. Neural Networks, 2016, 73: 36-46.
- [7] Runzi L, Yinglan W, Shucheng D. Combination synchronization of three classic chaotic systems using active backstepping design[J]. Chaos: An Int J of Nonlinear Science, 2011, 21(4): 1-6.
- [8] Ojo K S, Njah A N, Olusola O I, et al. Generalized reduced-order hybrid combination synchronization of three Josephson junctions via backstepping technique[J]. Nonlinear Dynamics, 2014, 77(3): 583-595.
- [9] Sun J, Shen Y, Wang X, et al. Finite-time combination-combination synchronization of four different chaotic systems with unknown parameters via sliding mode control[J]. Nonlinear Dynamics, 2014, 76(1): 383-397.
- [10] Zhou X, Jiang M, Huang Y. Combination synchronization of three identical or different nonlinear complex hyperchaotic systems[J]. Entropy, 2013, 15(9): 3746-3761.
- [11] Han M, Zhang M, Zhang Y. Projective synchronization between two delayed networks of different sizes with nonidentical nodes and unknown parameters[J]. Neurocomputing, 2016, 171(1): 605-614.
- [12] Wang H, Han Z, Xie Q, et al. Finite-time chaos control via nonsingular terminal sliding mode control[J]. Communications in Nonlinear Science and Numerical Simulation, 2009, 14(6): 2728-2733.

(责任编辑:齐霖)